

1 of 7

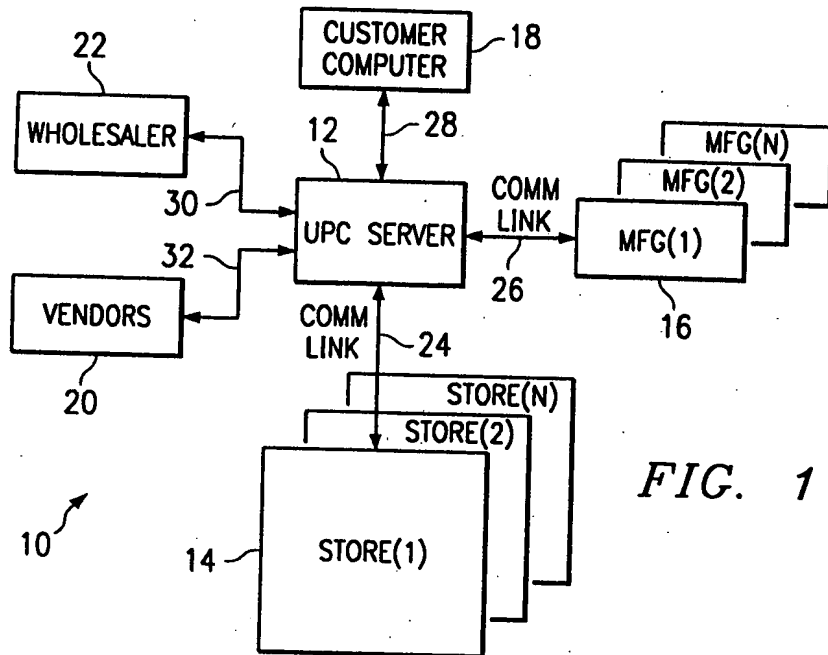


FIG. 1

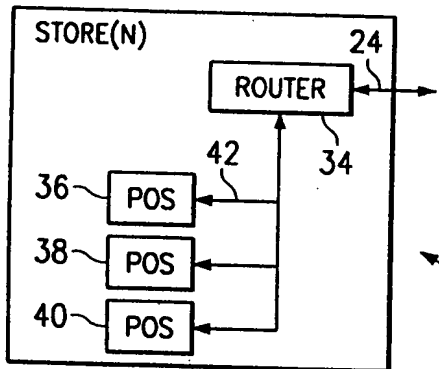


FIG. 2A

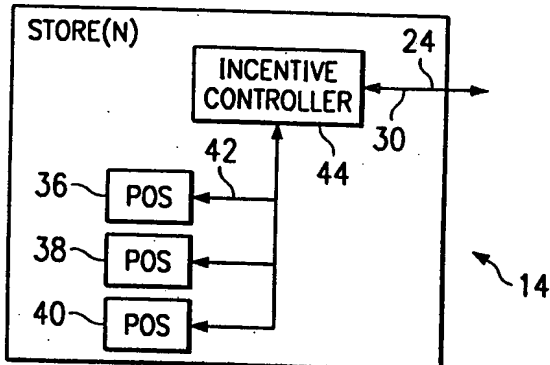


FIG. 2C

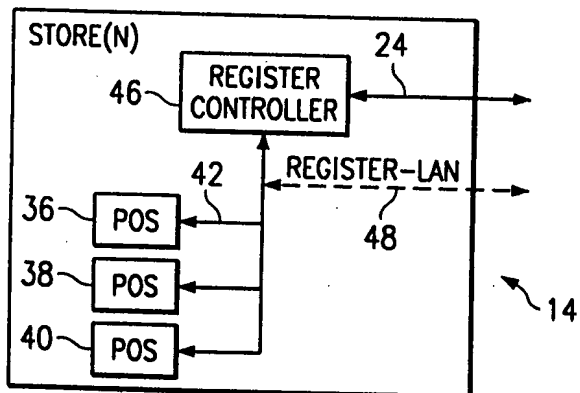
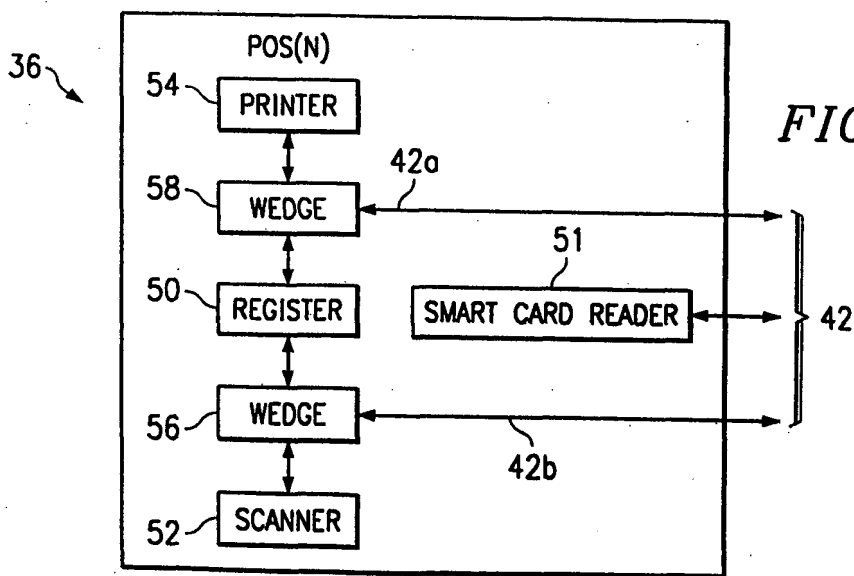
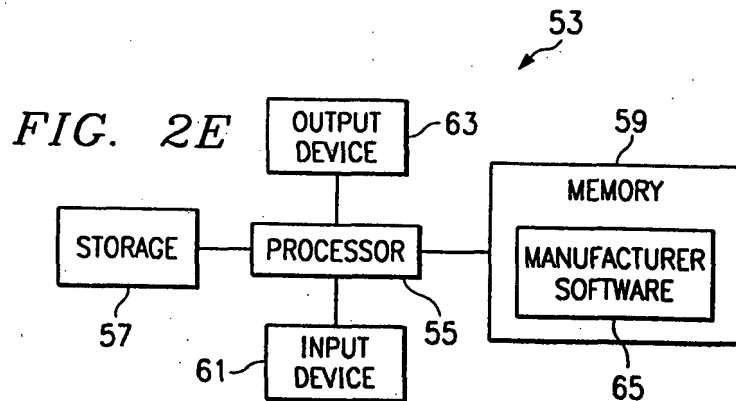
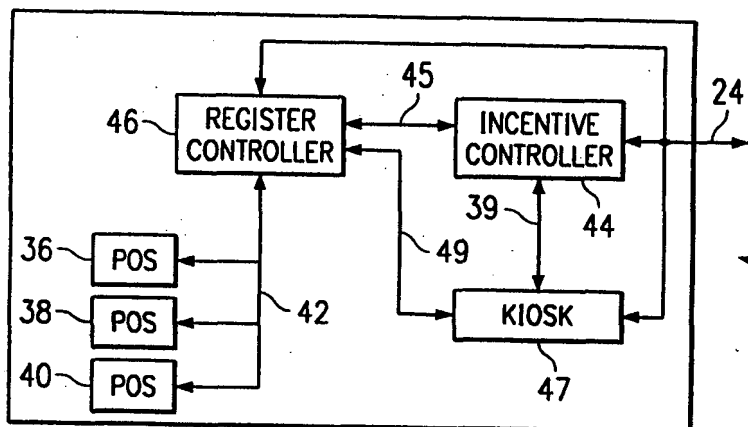


FIG. 2B

2 of 7



By: Deaton, et al.

3 of 7

FIG. 4A

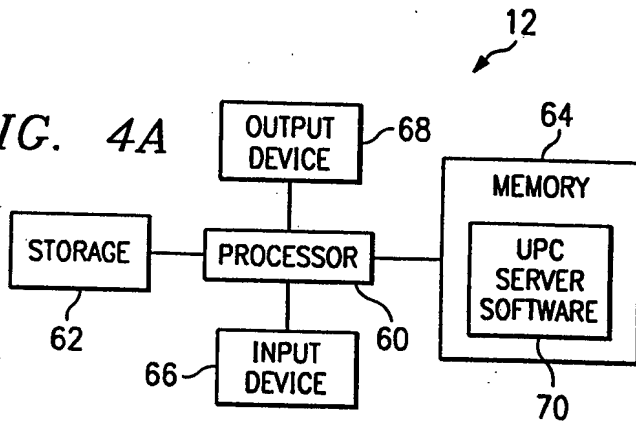


FIG. 4B

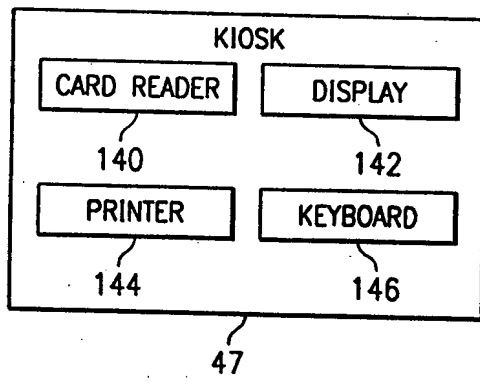


FIG. 5

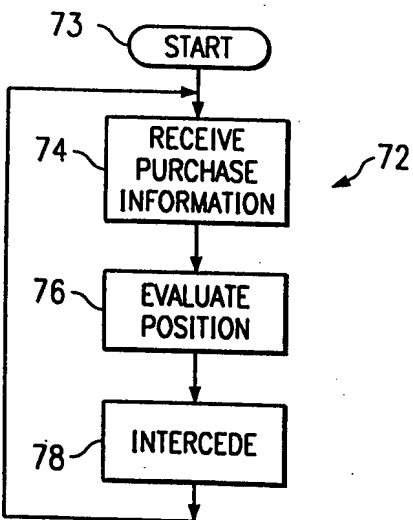
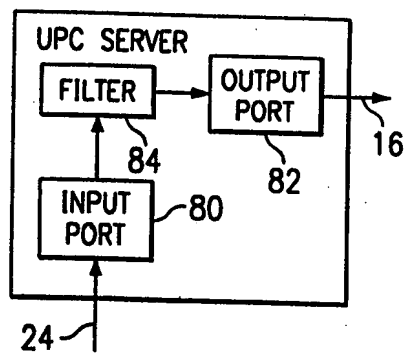


FIG. 6A



By: Deaton, et al.

4 of 7

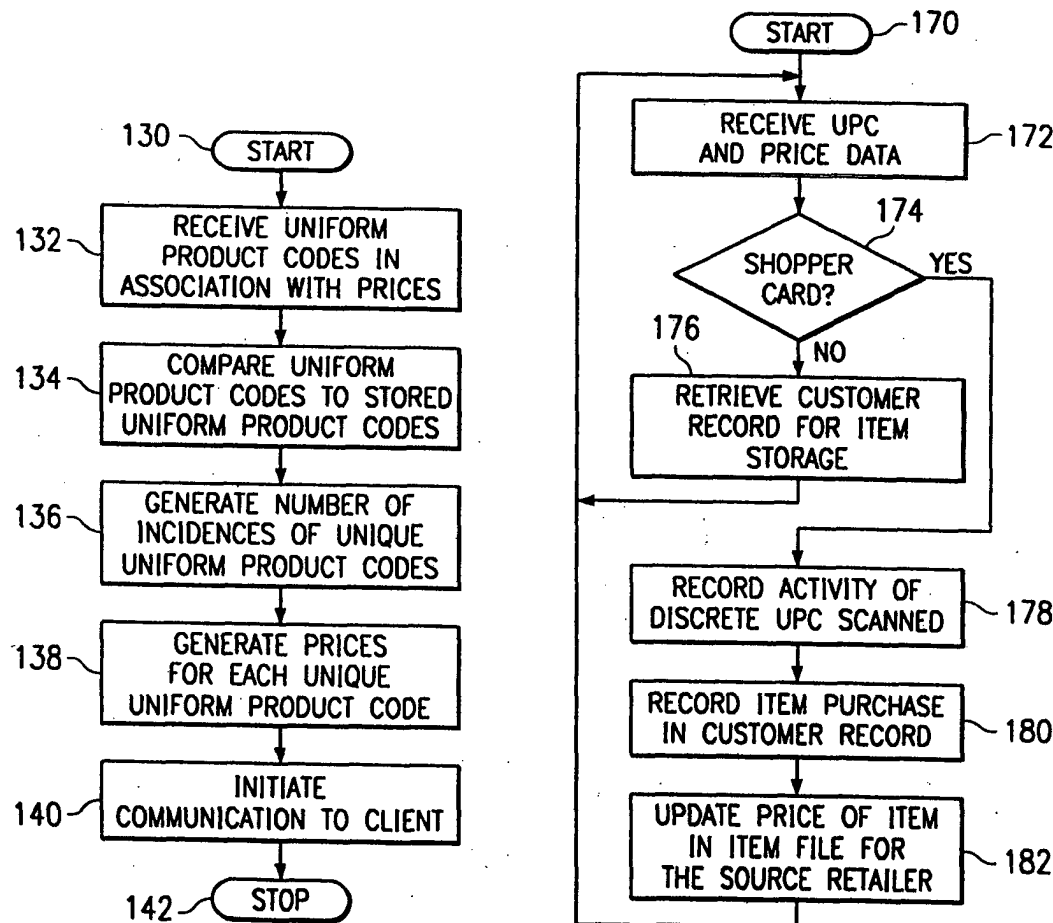
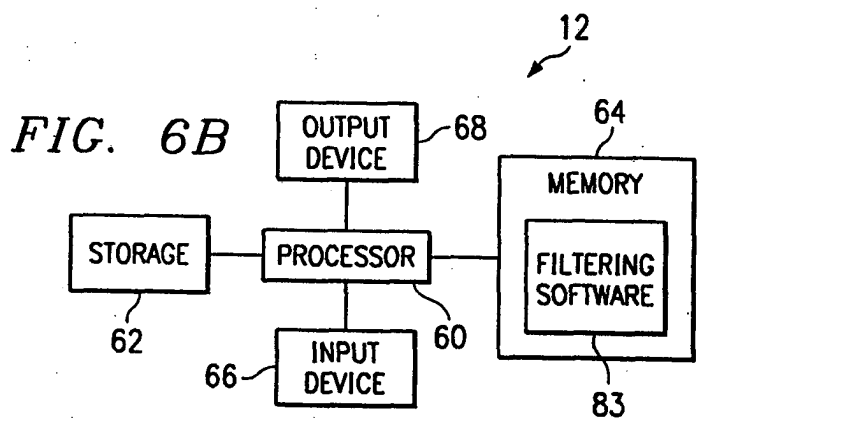


FIG. 6C

FIG. 6D

FIG. 6E

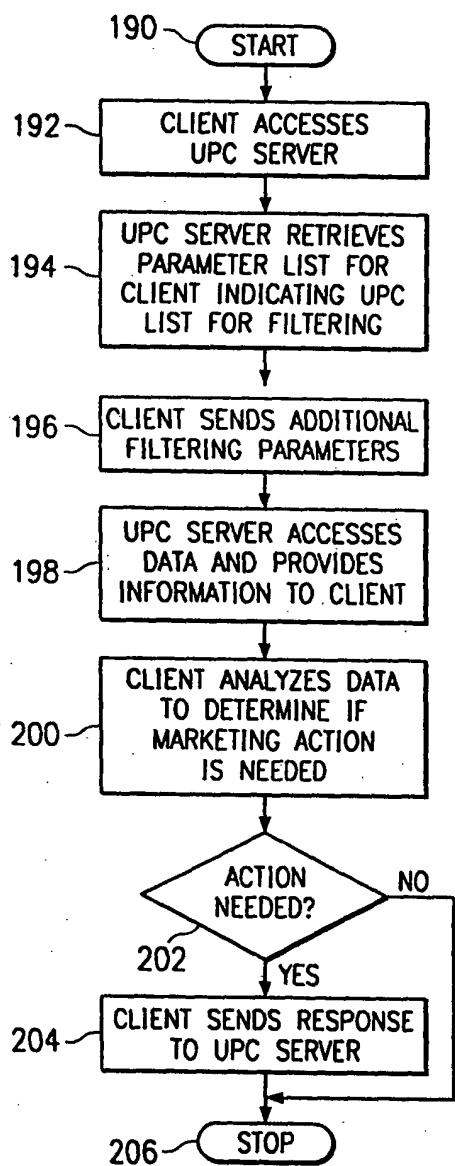


FIG. 7

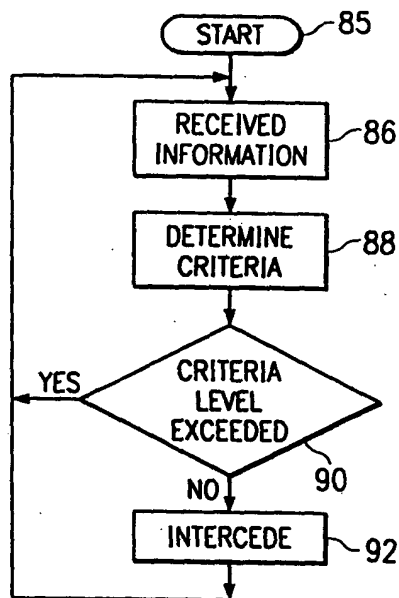


FIG. 8A

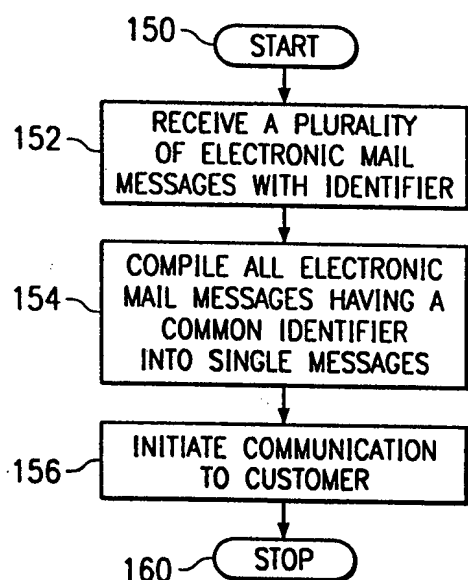
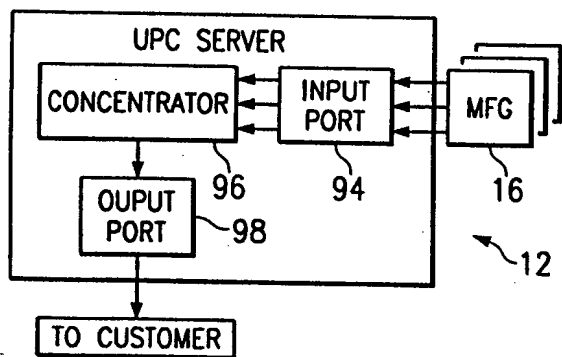


FIG. 8B

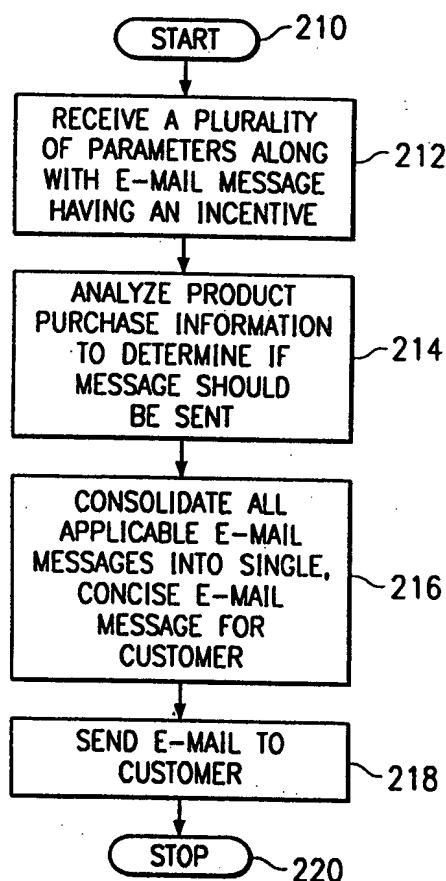


FIG. 8C

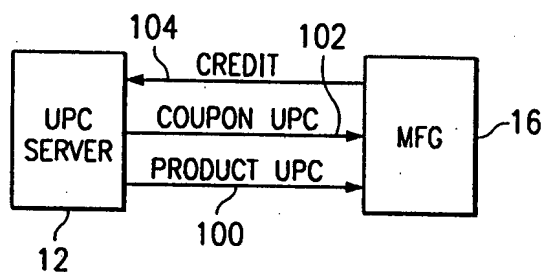


FIG. 9

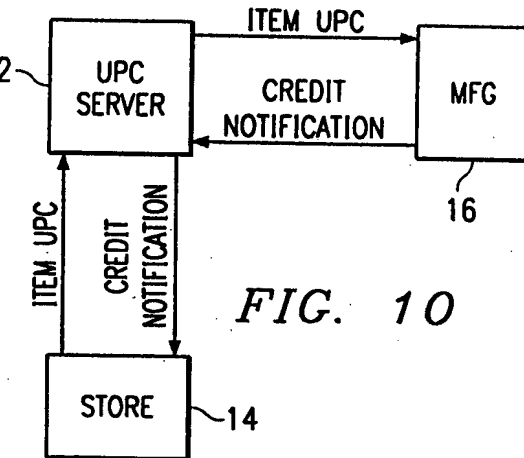


FIG. 10

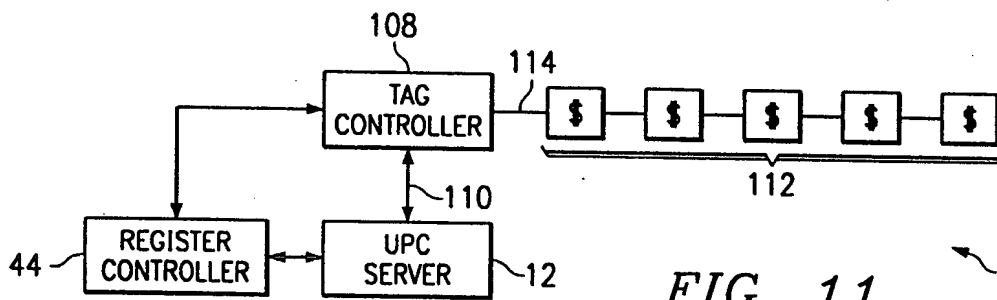


FIG. 11

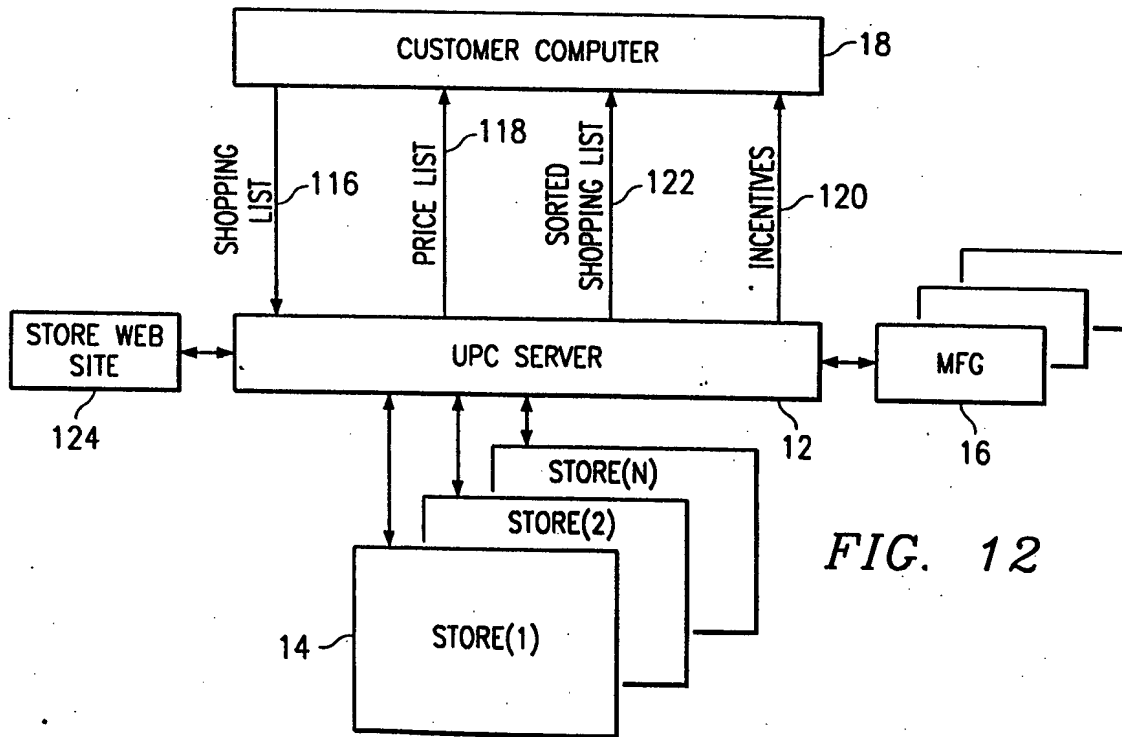


FIG. 12